

УДК 535.375

© 1990

ОСОБЕННОСТИ СПЕКТРОВ
КОМБИНАЦИОННОГО РАССЕЯНИЯ
В ОРИЕНТАЦИОННО НЕУПОРЯДОЧЕННЫХ КРИСТАЛЛАХ
 $\text{MeSiF}_6 \cdot 6\text{H}_2\text{O}$ ($\text{Me} = \text{Zn}, \text{Ni}, \text{Co}, \text{Fe}, \text{Mn}$)

В. П. Гнездилов, В. В. Еременко, А. В. Песчанский, В. И. Фомин

Методом комбинационного рассеяния (КР) исследованы при $T=300$ К кристаллы семейства $\text{MeSiF}_6 \cdot 6\text{H}_2\text{O}$. Определены частоты и симметрия колебательных мод. Обсуждается проявление неупорядоченности кристаллической структуры в спектрах КР кристаллов, как претерпевающих структурные фазовые переходы, так и сохраняющих симметрию до низких температур.

Структурные фазовые переходы (ФП) в гексагидратах фторосиликатов двухвалентных металлов ($\text{MeSiF}_6 \cdot 6\text{H}_2\text{O}$) в последние годы интенсивно изучаются различными методами. Однако остается открытым вопрос, почему только некоторые из кристаллов с одинаковой упаковкой и близкими параметрами решетки претерпевают ФП. До сих пор не выяснены их механизм и роль водородных связей.

Рентгеноструктурные исследования [1-3] показывают, что для изучаемых кристаллов при $T=300$ К характерна ориентационная неупорядоченность ионов, что само по себе определяет возможность структурных изменений при понижении температуры. Спектроскоический метод, чувствительный к локальным взаимодействиям, может служить полезным дополнением к рентгеноструктурным методам. Исследование спектров комбинационного рассеяния (КР) позволяет определить локальную симметрию позиции иона, которая в свою очередь несет информацию о структурной неупорядоченности.

В настоящей работе при $T=300$ К методом КР изучены кристаллы $\text{MeSiF}_6 \cdot 6\text{H}_2\text{O}$, как претерпевающие ФП, так и сохраняющие симметрию до низких температур, с целью установления связи особенностей спектров КР с неупорядоченностью кристаллической структуры. Особое внимание удалено исследованию решеточных колебаний, поскольку они являются важным источником информации о межмолекулярных силах и именно здесь следует ожидать наибольших изменений в случае ФП.

1. Методика измерений

В работе использовались фторосиликаты ряда двухвалентных металлов, выращенные методом спонтанной кристаллизации из водного раствора. Исследования были выполнены на кристаллах хорошего оптического качества. Проверка качества и ориентирование образцов проводились с помощью поляризационного микроскопа. Образцы вырезались в виде прямоугольных параллелепипедов с типичными размерами $4 \times 4 \times 6$ мм, грани которых тщательно полировались. Ребра образцов были параллельны осям X , Y и Z , выбранным обычным для тригональной сингонии образом: $Z \parallel c_3$, $X \perp c_3$ и параллельна ростовой гексагональной оканке монокристалла, $Y \perp Z$, X . Ориентация оси c_3 выдерживалась с точностью до 1° .

Спектры рассеяния возбуждались линией излучения 4880 Å Ar⁺-лазера ($W \sim 100-200$ мВт) и анализировались двойным монохроматором Ramanor U-1000. Спектры представлены в стандартных обозначениях $k(ij)q$, где k , q — направления распространения падающего и рассеянного света с электрическим вектором E вдоль i и j соответственно. В связи с тем что линия возбуждения 4880 Å попадает в область поглощения кристалла CoSiF₆·6H₂O, его спектры КР в интервале частот 750—150 см⁻¹ были изучены методом «рассеяние на отражение».

2. Кристаллическая структура

Исследуемые соединения MeSiF₆·6H₂O, где Me — двухвалентный металл, имеют подобную кристаллическую структуру и содержат ионы SiF₆²⁻ и Me(H₂O)₆²⁺. Атомы Me и Si окружены шестью молекулами воды в

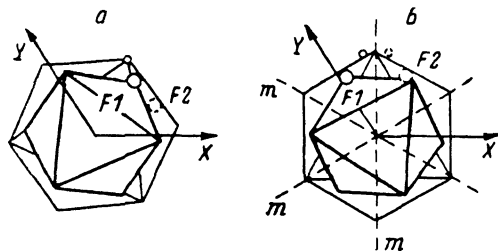


Рис. 1. Относительная ориентация атомов кислорода на верхней поверхности октаэдра Me(H₂O)₆²⁺ и атомов фтора на нижней поверхности смежного октаэдра SiF₆²⁻ в кристаллах.

a — Me=Zn, Ni, Co [¹], *b* — Me=Fe [⁴].

фтора соответственно, образующими почти правильные октаэдры. Эти октаэдры упакованы в ромбоэдрически искаженную структуру типа CsCl. Ось c_3 каждого октаэдра Me(H₂O)₆²⁺ и SiF₆²⁻ совпадает с направлением [111] ромбоэдрической ячейки. Чередующиеся катионы и анионы образуют колонки вдоль оси [111]. Каждая пара смежных октаэдров в колонке соединена тремя водородными связями O—H...F, в то время как октаэдр в колонке имеет только по одной водородной связи с каждым из шести октаэдров в соседних колонках.

Установлено, что структура соединений с Me=Zn, Ni, Co при $T=300$ К описывается пространственной группой симметрии C_{3h}^2 , содержит одну формульную единицу в элементарной ячейке ($z=1$) и имеет ориентационную неупорядоченность октаэдров SiF₆²⁻ [¹]. Последние, находясь в регулярных узлах решетки, развернуты относительно друг друга на угол $\sim 30^\circ$ и не связаны между собой каким-либо элементом симметрии. На рис. 1, *a* два неэквивалентных положения обозначены как F1 и F2, которые при 300 К хаотически распределены по кристаллу в соотношении $F1/F2=0.43/0.57$ для Me=Co и $F1/F2=0.33/0.67$ для Me=Zn, Ni.

Симметрия MnSiF₆·6H₂O найдена D_{3d}^3 ($z=3$) [⁴] (данные о характере неупорядоченности отсутствуют). Исследования дифракции нейтронов [⁵] показали, что при $T=300$ К кристалл FeSiF₆·6H₂O имеет симметрию D_{3d}^3 ($z=1$), но осуществляющуюся только статистически. Структура кристалла может быть представлена как суперпозиция двух структур, каждая из которых имеет симметрию C_{3h}^2 и преобразуется одна в другую отражением в плоскости симметрии m . Октаэдры каждого типа имеют две равновероятные ориентации (рис. 1, *b*). Наблюдение в экспериментах по дифракции рентгеновских лучей при комнатной температуре сверхструктурных рефлексов в Fe- и Mn-содержащих кристаллах предполагает существование трехмерных периодических корреляций в ориентации октаэдров кислорода и фтора [³].

3. Экспериментальные результаты и обсуждение

Поляризационные исследования КР изучаемых кристаллов в диапазоне частот 150—750 см⁻¹ показывают, что при $T=300$ К спектры содержат широкие линии, интенсивность и частотное положение которых проявляют

определенную закономерность. Наиболее интенсивными являются линии с ZZ , XX , YY компонентами тензора КР (рис. 2). Недиагональные компоненты YZ , XZ слабы по сравнению с YX . Поляризационные исследования спектров сложны. Это связано с тем, что (как следует из правил отбора для кристаллов C_{3v} , D_{3d} симметрии [6]) колебательные моды E_g симметрии должны наблюдаться во всех экспериментальных геометриях, за

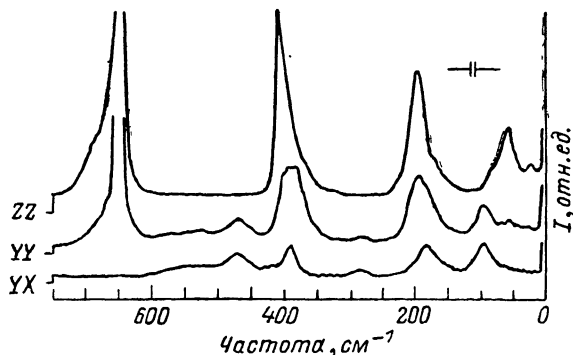


Рис. 2. $X(ZZ)Y$, $X(YY)Z$, $X(YX)Z$ спектры КР $\text{FeSiF}_6 \cdot 6\text{H}_2\text{O}$ при $T=300$ К.

исключением случая, в котором поляризации падающего и рассеянного света параллельны оси Z , т. е. $X(ZZ)Y$. Используя эту геометрию, удается выделить A_g (A_{1g}) моды. Низкочастотные спектры исследуемых кристаллов существенно отличаются. Число линий и их поляризация одинаковы в спектрах $\text{NiSiF}_6 \cdot 6\text{H}_2\text{O}$ и $\text{ZnSiF}_6 \cdot 6\text{H}_2\text{O}$ (рис. 3, а, б), в то время как спектры $\text{FeSiF}_6 \cdot 6\text{H}_2\text{O}$ и $\text{MnSiF}_6 \cdot 6\text{H}_2\text{O}$ имеют гораздо более сложную структуру

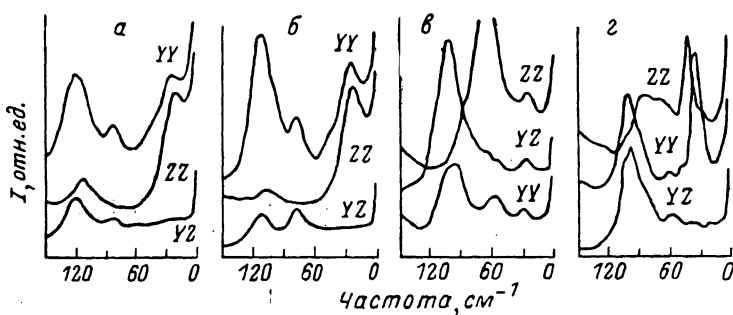


Рис. 3. Низкочастотный участок $X(YY)Z$, $X(ZZ)Y$ и $Z(YZ)X$ спектров КР кристаллов.

а — $\text{NiSiF}_6 \cdot 6\text{H}_2\text{O}$, б — $\text{ZnSiF}_6 \cdot 6\text{H}_2\text{O}$, в — $\text{FeSiF}_6 \cdot 6\text{H}_2\text{O}$, г — $\text{MnSiF}_6 \cdot 6\text{H}_2\text{O}$. Все кривые даны в одном и том же масштабе интенсивности, но для ясности они раздвинуты по вертикали.

(рис. 3, в, г). Поляризации (рис. 2, 3) соответствуют $ZZ - A_g$ (A_{1g}), YZ , $YX - E_g$, $YY - A_g + E_g$ ($A_{1g} + E_g$) колебательным модам для кристаллов C_{3v} (D_{3d}) симметрии.

Спектр КР может быть условно разделен на частотные диапазоны, включающие внутренние колебания ионов SiF_6^{2-} , $\text{Me}(\text{H}_2\text{O})_6^{2+}$ и вращательные колебания H_2O ($150-750$ см $^{-1}$), а также вращательные моды октаэдрических комплексов SiF_6^{2-} и $\text{Me}(\text{H}_2\text{O})_6^{2+}$ ($0-150$ см $^{-1}$). Слабые асимметричные линии, наблюдавшиеся в спектре всех исследуемых кристаллов в интервале $450-750$ см $^{-1}$, отнесены в настоящей работе к вращательным модам H_2O (табл. 1, рис. 2). Их частотное положение согласуется с данными по ИК исследованиям [7]. Спектры свободных октаэдрических комплексов легко распознаются, так как они содержат три линии, одна из которых (полносимметричное валентное колебание) интенсивна и поляризована. Частотное положение колебательных мод хорошо изучено для ионов SiF_6^{2-} ($A_{1g} \approx 655$ см $^{-1}$, $E_g \approx 475$ см $^{-1}$, $F_{2g} \approx 395$ см $^{-1}$) [6] и $\text{Me}(\text{H}_2\text{O})_6^{2+}$ ($400-$

Таблица 1

Вращательные моды молекул воды в кристаллогидратах $\text{MeSiF}_6 \cdot 6\text{H}_2\text{O}$

Me	Частота колебаний, см^{-1}					
	веерные			маятниковые		
	наст. раб.	ИК [7]		наст. раб.	расчет [7]	
		экспер.	расчет			
Zn	475	—	—	—	—	—
Ni	500	645	636	—	752	—
Mn	550	560	572	675	658	—
Fe	550	575	576	675	653	—

150 см^{-1} [8-10]. Влияние статического кристаллического поля прежде всего сказывается на более или менее значительном смещении колебательных уровней и снятии вырождения колебательных состояний свободных ионов. Существенную роль в объяснении этих эффектов играет позиционная симметрия ионов в кристалле.

Предсказываемый на основе теоретико-группового анализа спектр КР внутренних колебаний иона SiF_6^{2-} с позиционной симметрией C_{3v} (D_{3d}) приведен в табл. 2. В области 400 см^{-1} (положение F_{2g} моды свободного

Таблица 2

Корреляционная диаграмма для внутренних колебаний SiF_6^{2-} и $\text{Me}(\text{H}_2\text{O})_6^{2+}$ и наблюдаемые частоты

Свободный ион	Позиционная симметрия и фактор-группа		Частота колебаний, см^{-1} $\text{MeSiF}_6 \cdot 6\text{H}_2\text{O}$						
	C_{3v}	D_{3d}	Co	Zn	Ni	Ni [9]	Mn	Fe	Fe [9]
SiF_6^{2-}									
O_h	$\begin{cases} A_{1g} - A_g - A_{1g} \\ E_g - E_g - E_g \\ F_{2g} < A_g - A_{2g} \\ E_g - E_g \end{cases}$		658 460 ± 2 403 ± 2 391 ± 2	660 461 402 391	661 461 403 392	661 463 400 400	651 462 401 395	652 468 404 396	651 462 405 —
$\text{Me}(\text{H}_2\text{O})_6^{2+}$									
T_h	$\begin{cases} A_g - A_g - A_{1g} \\ E_g - E_g - E_g \\ F_g < A_g - A_{2g} \\ E_g - E_g \end{cases}$		381 ± 3 — 200 ± 3 210 ± 3	381 267 ± 3 205 217	391 306 ± 2 213 225	— 300 — 220	364 276 ± 3 187 182	381 288 ± 3 201 183	380 300 — 198

октаэдра) должны наблюдаться две компоненты с симметрией A_g (A_{1g}) и E_g . В этом же интервале частот находится полносимметричное валентное колебание Me—O [8-10]. Действительно, как видно из рис. 2, контур широких полос с YY, ZZ компонентами тензора КР связан с присутствием в спектре нескольких линий. Результаты обработки экспериментального спектра на ЭВМ, отнесение линий к определенному типу колебаний в сравнении с известными литературными данными приведены в табл. 2.

Свободные вращения ионов SiF_6^{2-} и $\text{Me}(\text{H}_2\text{O})_6^{2+}$ преобразуются в кристалле в колебания решетки. Согласно теоретико-групповой классификации колебаний [9], вращательные моды активны в КР. Ожидается $2A_g + 2E_g$ моды в кристаллах C_{3v}^2 симметрии и $2E_g$ в D_{3d}^5 . В спектре $\text{NiSiF}_6 \times 6\text{H}_2\text{O}$ и $\text{ZnSiF}_6 \cdot 6\text{H}_2\text{O}$ обнаружены все предсказываемые внутренние (табл. 2) и вращательные моды (рис. 3, а, б). Экспериментальные данные для этих соединений в согласии с результатами [8, 9] могут быть интерпретированы в предположении C_{3v}^2 ($z=1$) симметрии упорядоченных кристаллов. Отсутствие трансляционной симметрии кристаллической ре-

шетки, однако, должно приводить к нарушению правил отбора процесса КР и возбуждению колебаний с $k \neq 0$. В этом случае особенности спектра КР отражают однофононную плотность состояний. Неупорядоченность в ближайшем окружении ионов SiF_6^{2-} и $\text{Me}(\text{H}_2\text{O})_6^{2+}$ проявляется в уширении и асимметричной форме ряда линий спектра КР.

Спектры КР $\text{FeSiF}_6 \cdot 6\text{H}_2\text{O}$ и $\text{MnSiF}_6 \cdot 6\text{H}_2\text{O}$ отличаются от предсказываемых для кристаллов, описываемых D_{3d} симметрией. В ZZ спектрах как в области внутренних колебаний $\text{Me}(\text{H}_2\text{O})_6^{2+}$ (табл. 2, рис. 2), так и в области решеточных колебаний (рис. 3, в, г) наблюдаются интенсивные линии, запрещенные правилами отбора КР для указанной симметрии. Появление этих линий может быть связано с тем, что в неупорядоченной фазе некоторые из неактивных мод, в том числе ИК, могут приобретать активность. Поскольку в соединениях с $\text{Me}=\text{Zn}, \text{Ni}$, также неупорядоченных при $T=300$ К, в низкочастотном спектре не наблюдаются дополнительные линии, такие процессы, по-видимому, слабы. Наблюдение в настоящем эксперименте этих возбуждений в высокотемпературной фазе кристаллов $\text{FeSiF}_6 \cdot 6\text{H}_2\text{O}$ и $\text{MnSiF}_6 \cdot 6\text{H}_2\text{O}$ может указывать на более низкую, чем D_{3d} (например, C_{3v}), позиционную симметрию. Однако описание низкочастотного спектра в рамках симметрии C_{3v} также затруднено, поскольку наблюдается большое количество линий.

Другое объяснение может быть предложено на основе результатов рентгеноструктурных исследований [2, 3]. Приведенные в работе [3] оценки показывают, что в кристалле $\text{FeSiF}_6 \cdot 6\text{H}_2\text{O}$ размеры упорядоченных областей (в которых существует характерный для упорядоченной низкотемпературной фазы ближний ориентационный порядок) меняются вдоль оси c от 96 до 230 Å в интервале температур 293–247 К. Найдено, что ниже $T_c \approx 240$ К ($\text{Me}=\text{Fe}$) [2] и $T_c \approx 230$ К ($\text{Me}=\text{Mn}$) [11] симметрия кристаллов понижается до моноклинной C_{2h}^5 ($z=2$) [2, 4]. Предполагается [8], что ФП в низкотемпературную фазу связан с фононной неустойчивостью на границе зоны Бриллюэна (ЗБ). В таком случае в спектре КР низкотемпературной фазы должны наблюдаться новые линии, поскольку снимается вырождение E , мод и возникают новые колебательные возбуждения в центре ЗБ ($k=0$) в силу удвоения объема элементарной ячейки. Таким образом, сложный низкочастотный спектр КР кристаллов, претерпевающих структурные ФП, отражает уже при $T=300$ К существование ближнего порядка, характерного для низкотемпературной фазы.

Представляют интерес дальнейшие исследования температурного поведения спектров КР кристаллов указанного семейства, которые позволяют установить природу линий в неупорядоченной фазе.

В заключение авторы выражают благодарность Б. Я. Сухаревскому и В. П. Дьяконову за предоставленные для настоящих исследований моно-кристаллы и интерес к работе.

Список литературы

- [1] Ray S., Zalkin A., Templeton D. H. // Acta Cryst. B. 1973. V. 29. P. 2741–2747.
- [2] Jehanno G., Varret F. // Acta Cryst. A. 1975. V. 31. P. 857–858.
- [3] Chevrier G., Hardy A., Jehanno G. // Acta Cryst. A. 1981. V. 37. P. 578–584.
- [4] Kodera E., Torii A., Osaki K., Watanabe T. // J. Phys. Soc. Jap. 1972. V. 32 N 3. P. 863.
- [5] Hamilton W. C. // Acta Cryst. 1962. V. 15. P. 353–360.
- [6] Применение спектров комбинационного рассеяния / Под ред. А. Андерсона. М., 1977. 586 с.
- [7] Nakagawa I., Shimanouchi T. // Spektrochim. Acta. 1964. V. 20. P. 429–439.
- [8] Poulet H., Mathieu J.-P. // Compt. Rend. 1978. V. 286. N 23. P. 331–333.
- [9] Lewis J., Jenkins T. E. // J. Raman Spectroscopy. 1979. V. 8. N 2. P. 111–114.
- [10] Mathieu J.-P. // Compt. Rend. 1950. V. 231. N 18. P. 896–897.
- [11] Tsujikawa I., Couture L. // J. Physique Rad. 1955. V. 16. N 5. P. 430–431.